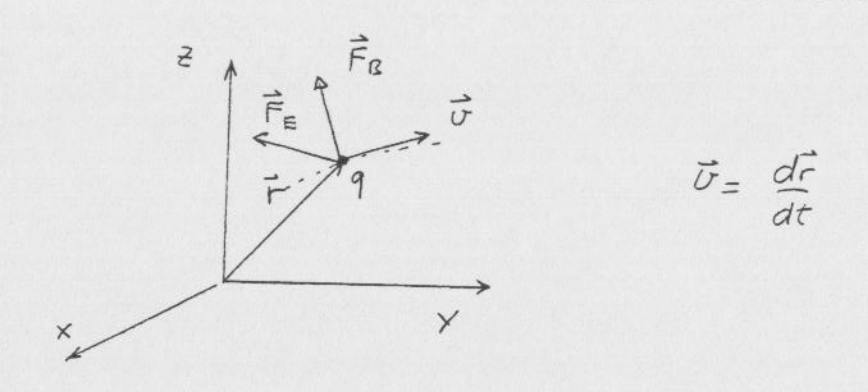
Université de Strasbourg

ELECTROMAGNETISME

Licence de Physique II

Prof. J.P. Bucher

FORCES ELECTROMAGNETIQUE



Observations:

1) Pour q au repos dans le référentiel considéré ($\vec{v}=0$, il \vec{z} une force $\vec{F}_{\rm E}\sim q$

$$\vec{F}_E = \vec{F}_E(\vec{r},t) = g \vec{E}(\vec{r},t)$$

2) Lorsque $\vec{v} \neq 0$ il faut ajouter $\vec{a} \vec{F}_E$ une autre force $\vec{F}_B \sim g$. Les expériences d'Ampère et de Faraday montrent que $\vec{F}_B \perp \vec{v}$ = 0 est compatible avec

$$\vec{F}_{B} = q\vec{v} \wedge \vec{B}(\vec{r},t)$$
 constitue la déf.

Par un choix convenable de \vec{v} , la mesure de $\vec{F} = \vec{F}_E + \vec{F}_B$ permet de déterminer partout les vecteur \vec{E} et \vec{B} .

Il est possible de faire abstraction de la charge qui a servi à définir É et B en considérant que É et B existent à chaque instant et en tout point de l'espace indépendamment du fait que l'on cherche à les mesurer

En théorie classique (pas de spin), la force EM est donnée par l'equ. de Laplace-Lorente

$$\vec{F} = g [\vec{E} + \vec{v} \wedge \vec{B}]$$
 \otimes | scalaire: propriété de la particule

Remarquable! L'action sur une particule de toutes les forces contenues dans l'espace peut être représentée par deux champs vectoriels seulement.

Considérations d'unites

$$F = q v B \rightarrow [B] = \frac{N}{C \cdot m/s} = T_{R}$$
 Tesla

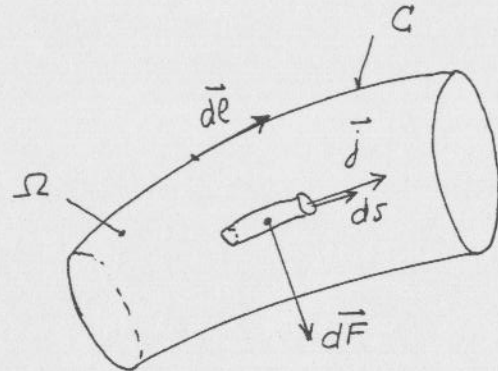
$$\mu_0 \mathcal{E}_0 = \frac{1}{V_L^2} \qquad \left[\mathcal{E}_0\right] = \frac{C^2}{N m^2}$$

$$\left[\mu_0\right] = \frac{N m^2}{C^2} \cdot \frac{S^2}{m^2} = \frac{kg \cdot m}{C^2}$$

$$\mu_0 = 4\pi \ 10^{-7} \ \frac{m \ kg}{c^2}$$

Force magnétique sur un conducteur filiforme

parcouru par un courant



Pour un élément de de tube de courant

$$d\vec{F} = dg \vec{v} \wedge \vec{E} \qquad dg = g d\vec{r}$$

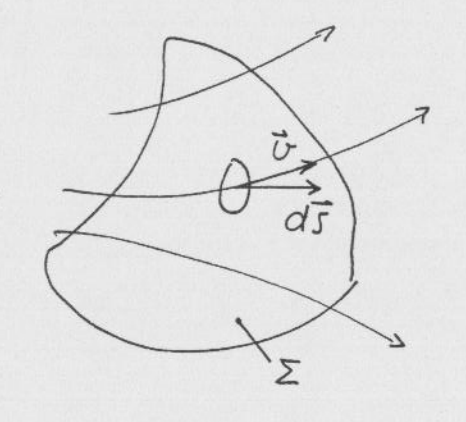
$$\vec{F} = \iiint_{\Omega} \vec{j} \wedge \vec{k} d\vec{l}$$

l'élément de volume dT = ds. de

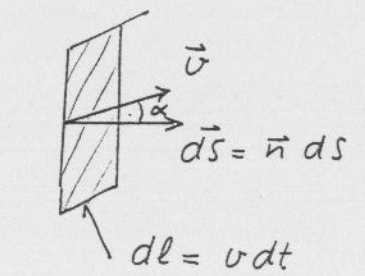
FLUX ATRAVERS UNE SURFACE

Loi d'Ohm

Quel est le débit de charge à travers une surface?



par la tranche



Charge ayant traversé l'élément ds pendant dt:

dg = 8 ds · dl cosa = 8 ds vdt cosa

le vecteur donsité de courant est donné par :

$$|\vec{j}| = \frac{dq}{ds dt} = \int \sigma \cos \alpha \left[\frac{As}{s m^2} \right] = \left[\frac{A}{m^2} \right]$$

$$\vec{L} = \int \vec{j} \cdot d\vec{s} = \int \vec{r} \cdot d\vec{s}$$

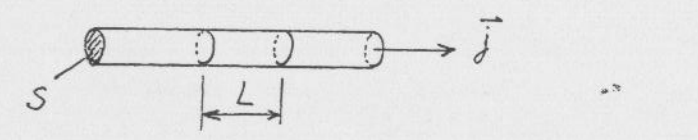
lorsque $I \neq I(t) \rightarrow courant stationnaire$

Application: fil de cuivre $j = 10 \frac{A}{mm^2}$ 1 el libre par atome na 1022 el ; s= ne > V≈ 610-2 m

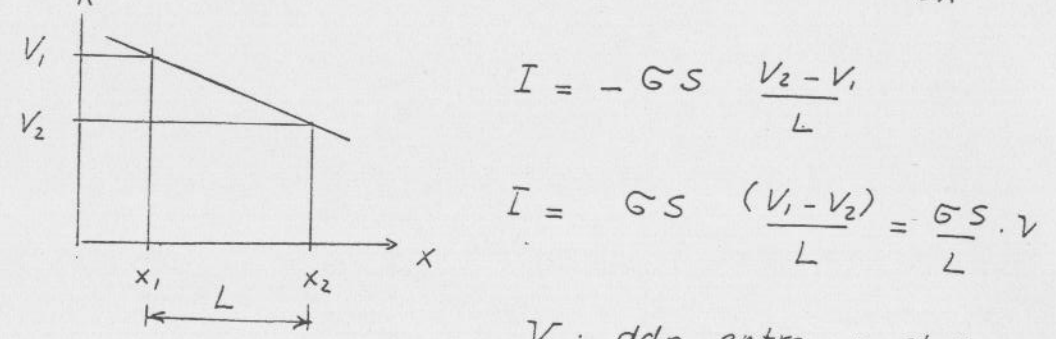
vitesse instantanée 106 m (agitation aléatoire dont la moyenne est nulle).

Parenthèse: l'expérience montre qu'un courant stationnaire ne peut se maintenir que si un champ É constant existe

$$\vec{j} = \vec{5} \vec{E}$$
 $\vec{6}$: conductivite



$$I = \vec{j} \cdot \vec{s} = -G \vec{s} \cdot g\vec{n} dV = -G S \frac{\partial V}{\partial x}$$



$$I = -GS \frac{V_2 - V_1}{I_2}$$

$$\overline{L} = GS \left(\frac{V_1 - V_2}{L} \right) = \frac{GS}{L}.$$

V: ddp entre x, et x2

$$I = \frac{1}{R} \cdot V$$

avec
$$R = \frac{L}{GS}$$
; $\frac{1}{G} = S$: resistivité

Equation de continuité

Considérons maintenant un volume Ω limité par une surface fermée Σ et écrivons la conservation de la charge contenue dans Σ

$$9 = \int_{\Omega} S dT$$

la vitesse de variation de 9 dans E est

$$\frac{dq}{dt} = \int_{\Omega} \frac{\partial s}{\partial t} dT$$

avec
$$S = S(\vec{r}, t)$$

on satisfait au principe de conservation de la charge en écrivant le bilan:

$$\oint \vec{j} \, d\vec{s} = - \int \frac{\partial g}{\partial t} \, d\vec{r}$$

$$\oint \vec{j} \, d\vec{s} + \int \frac{28}{2} \, d\vec{l} = 0$$

En utilisant le TH de la div. il vient

$$\int \left(\operatorname{div} \vec{j} + \frac{28}{2} \right) d\vec{l} = 0$$

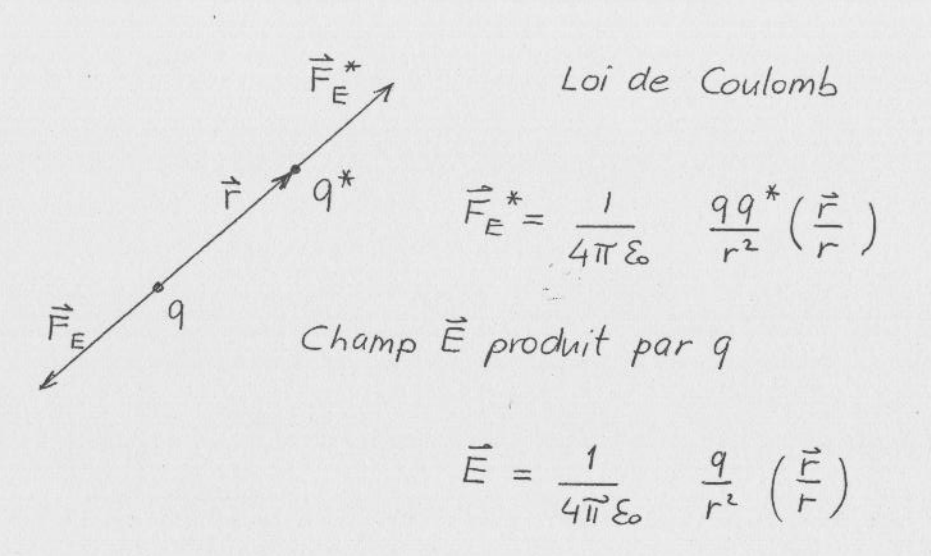
cette équ. doit être vérifiée y le volume l' d'où l'équ. de continuité

$$div\vec{j} + \frac{\partial g}{\partial t} = 0$$

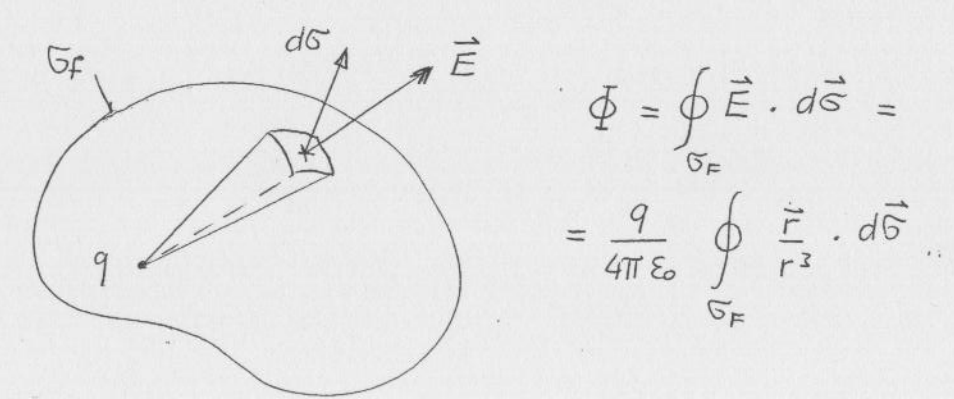
analogue à la conservation de la masse (méc. des fluides).

I ELECTROSTATIQUE (RAPPEL)

A) Lois fondamentales



- 1) Il dérive d'un potentiel. On sait que $grad = -\frac{\vec{r}}{r^3}$ Donc $\vec{E} = -\frac{1}{9}rad V$ avec $V = \frac{1}{4\pi\epsilon_0} = \frac{9}{r}$
 - 2) Flux de È au travers d'une surface fermée GF



La quantité \vec{r} . \vec{dG} est l'élément d'angle solide $d\Omega$ sous lequel on voit \vec{dG} depuis q.

donc
$$\phi = \frac{q}{4\pi \epsilon_0} \int d\Omega$$

$$\int d\Omega = \begin{cases} 4\pi & \text{si } q \text{ à l'intérieur de } G_F \\ 0 & \text{si } q \text{ à l'extérieur de } G_F \end{cases}$$

$$\oint \vec{E} d\vec{G} = \begin{cases} \frac{q}{\epsilon_0} & \text{si } q \text{ à l'intérieur de } G_F \\ 0 & \text{si } q \text{ à l'extérieur de } G_F \end{cases}$$

$$6F = \begin{cases} 0 & \text{si } q \text{ à l'extérieur de } G_F \\ 0 & \text{si } q \text{ à l'extérieur de } G_F \end{cases}$$

Grâce au principe de superposition

$$\mathcal{E} \circ \oint_{\mathcal{G}_{E}} \vec{E} \cdot d\vec{G} = \sum_{i} q_{i} \qquad \underline{\text{Loi de Gauss}}$$

l'indice i numérote uniquement les charges enfermées par GF

Dans le cas d'un continu de charge :

$$\mathcal{E} \oint \vec{E} \cdot d\vec{G} = \int g dw_0$$

wo : volume limité par la surface fermée 6,

En utilisant le théorème de la divergence
$$Eo \int div \vec{E} d\omega_0 = \int g d\omega_0$$
 ω_0

relation qui doit être satisfaite # 5 F, d'où la forme locale de la loi de Gauss:

Eo div
$$\vec{E} = g$$

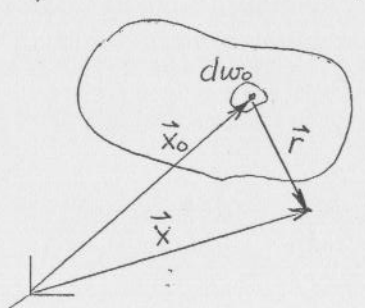
on défini le champ de déplacement électrique
 $\vec{D} = \mathcal{E} \cdot \vec{E}$
d'où div $\vec{D} = g$

B) Le potentiel scalaire

En remplaçant E par - grad V ds. Es div E = 9 il vient - div grad V = S/Eo

donc
$$\overrightarrow{\nabla}^2 V = -\frac{g}{\xi}$$
 Equ. de Poisson

Nous verrons dans la théorie des potentiels que cette ēgu. a la solution particulière



$$V(\vec{x}) = \frac{1}{4\pi\epsilon_0} \int_{\omega_0} \frac{g(\vec{x}_0)}{r} d\omega_0$$

On peut trouver intuitivement cette solution en écrivant que le potentiel produit en x par des charges .. gdwo en xo est du type coulombien:

$$dV(\vec{x}) = \frac{1}{4\pi\epsilon_0} \frac{g(\vec{x_0}) dw_0}{r}$$

En appliquant le principe de superposition:

$$V(\vec{x}) = \int dV(\vec{x}).$$

Cette équ. contient la variable xo repérant les points où sont placées les charges et la variable x qui repère le point où l'on mesure le potentiel produit par ces charges. Ainsi lorsqu'on calcule E=-grad il faut préciser que l'opérateur 7 agit sur x (ce que l'on fait par l'indice \vec{x})

$$\vec{E}(\vec{x}) = -\vec{\nabla}_{\vec{x}} V(\vec{x}) = -\frac{1}{4\pi \epsilon_o} \vec{\nabla}_{\vec{x}} \int_{\omega_o} \frac{d\omega_o \, g(\vec{x}_o)}{r(\vec{x}, \vec{x}_o)}$$
On obtient alors:

$$\vec{E}(\vec{x}) = \frac{1}{4\pi \varepsilon} \int_{\omega_0} \frac{d\omega_0 \, g(\vec{x}_0) \, \vec{r}}{r^3}$$

qui est l'expression de la loi de Coulomb dans le cas continu.

Remarques:

1) Lorsque $\vec{x} \rightarrow \vec{x}_0$ et lorsque $g(\vec{x}_0)$ est bornée, l'intégrale généralisée pr. V et \vec{E} converge. En effet on sait que la forme $\int \frac{dw_0}{r^n}$ converge si $n \in 3$

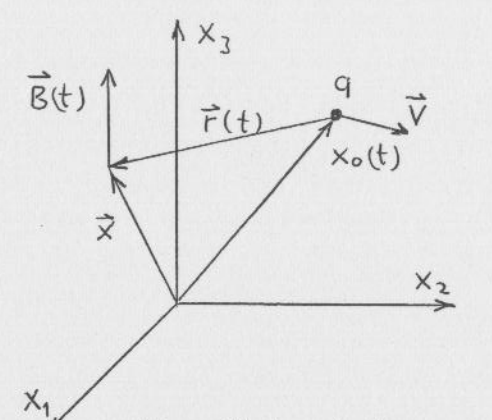
RESUMÉ

Lois de l'électrostatique dans le vide

Forme différentielle	Forme intégrale
$\vec{E} = -\frac{1}{9}\vec{r} \vec{d} \vec{v}$ rot $\vec{E} = 0$	$\oint \vec{E} \cdot d\vec{r} = 0$
$div \vec{D} = 9$ $\vec{D} = & \vec{E}$	$\int_{GF} \vec{D} \cdot d\vec{s} = \sum_{i} q_{i}$
$\vec{\nabla}^2 V = -\frac{g}{\varepsilon}$	$V(\vec{x}) = \frac{1}{4\pi\epsilon_0} \int_{\omega_0} \frac{d\omega_0 g(\vec{x}_0)}{r(\vec{x}, \vec{x}_0)}$
	$\vec{E}(\vec{x}) = \frac{1}{4\pi \epsilon_0} \int_{\omega_0} \frac{d\omega_0 \ g(\vec{x}_0) \vec{x}}{r^2(\vec{x}, \vec{x}_0)}$

I CHAMP MAGNETIQUE STATIONNAIRE DANS LE VIDE (MAGNETOSTATIQUE)

A) Lois fondamentales

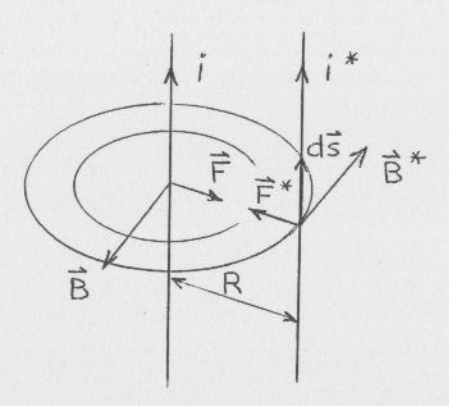


Une particule chargée qui se déplace clans un référentien donné crée en tout point $\vec{X}(x, x_2 x_3)$ un champ $(\vec{X}, \vec{X}, \vec{$

Un état stationnaire n'est réalisable que par un mouvement collectif d'un ensemble de charges rappelant un écoulement du type hydrodynamique. Il est possible de définir une densité de courant $\vec{j} = 9\vec{v}$ et une intensité $i = \int \vec{j} \cdot d\vec{s}$

La situation stationnaire caractérisée par $\frac{08}{0t} = 0$ $\frac{0}{0}\vec{j} = 0 \quad \text{et} \quad \frac{di}{dt} = 0 \quad \text{réalise les conditions}$ $nécessaires à l'étude d'un \vec{B} \neq \vec{B}(t).$ A set épost l'expérience d'Ampère est fondamen

A cet égard, <u>l'expérience</u> d'Ampère est fondamentale car elle ne fait intervenir que la notion de courant électrique.



On mesure la force $|\vec{F}| = |\vec{F}^*|$

s'exerçant sur deux conduct.

rectilignes filiformes

parcourus par des courant i eti*

Faits expérimentaux:

- 1) Lorsque l'un des fils est dans un plan perpendic. à l'autre on n'observe pas de force.
- 2) Lorsque les fils sont parallèles on mesure une force È qui obéit à la loi :

 $|\vec{F}| \sim \frac{|\vec{i}|^* L}{R}$; L: long. des fils

L'équ. $d\vec{F} = i d\vec{s} \wedge \vec{B}$ devient dans ce cas $|\vec{F}| = i L |\vec{B}|$

On est conduit à attribuer au champ B deux propriétés fondamentales:

- a). B produit par un courant i circulant dans un conducteur rectiligne filiforme admet comme lignes de champ des cercles dont les centres sont sur l'axe du conducteur.
- b) L'amplitude de $|\vec{B}|$ obéit à : $|\vec{B}| = \frac{\mu_0}{2\pi} \frac{i}{R}$

La circulation d'un champ qui a ces propriétes, le long d'un contour fermé l'entourant le conducteur est proportionnelle a i :

$$\frac{1}{\mu_0} \oint \vec{B} \cdot d\vec{r} = \begin{cases} i & \text{si } \Gamma \text{ entoure le cond.} \\ 0 & \text{si } \Gamma \text{ n'entoure pas le cond.} \end{cases}$$

c'est la loi d'Ampère

Remarque: la divergence du champ B est nulle. en effet, les composantes

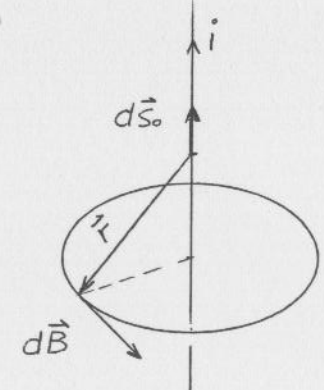
$$B_{x} = -\frac{\mu_{0}i}{2\pi} \quad \frac{y}{x^{2}+y^{2}} ; \quad B_{y} = \frac{\mu_{0}i}{2\pi} \quad \frac{x}{x^{2}+y^{2}} ; \quad B_{z} = 0$$

vérifient bien div $\vec{B} = 0$.

L'expérience montre que le champ B produit par un courant circulant dans un con-ducteur filiforme doit pouvoir s'ex-primer comme une somme de termes du type:

$$d\vec{B} = \frac{\mu_0}{4\pi} i \frac{d\vec{S_0} \wedge \vec{r}}{r^3}$$

Ainsi pour le fil rectiligne, il vient:



$$|\vec{B}| = \frac{\mu_0 i}{4\pi} \int \frac{r \sin \theta dz}{r^3}$$

$$z - z_0 = r \cos \theta$$

$$\sin \theta = R/r$$

$$\times P(x,y,z) \quad En \quad \text{éliminant} \quad \theta \quad \text{et} \quad z_0$$

$$|\vec{B}| = \frac{\mu_0 i}{4\pi} \int \frac{r \sin \theta dz}{r^3}$$

$$z - z_0 = r \cos \theta$$

$$\sin \Theta = R/r$$

En éliminant 0 et Z.

$$|\vec{B}| = \frac{\mu_0 i}{4\pi} R \int \frac{dr}{r^2 \sqrt{r^2 - R^2}} = \frac{\mu_0 i}{4\pi} R \frac{\sqrt{r^2 - R^2}}{R^2 r} \Big|_{-\infty}^{\infty}$$

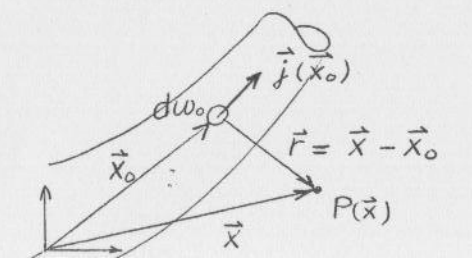
finalement on obtient bien:

$$|\vec{B}| = \frac{\mu_0}{2\pi} \frac{i}{R}$$

On écrit aussi

$$d\vec{B} = \frac{\mu_0}{4\pi} \frac{dw_0 \vec{J} \wedge \vec{r}}{r^2}$$

Equ. souvent appelée loi de Biot et Savart



Un champ qui obéit à une loi de type Biot et Savart a les propriétes fondamentales suivantes:

1) Il existe un potentiel vecteur \vec{A} t.g. $\vec{B} = rot \vec{A}$, en effet, en utilisant la relation

$$\overrightarrow{rot} \quad \frac{\overrightarrow{j}(x_0, y_0, z_0)}{r} = \frac{\overrightarrow{j} \wedge \overrightarrow{r}}{r^3}$$

(l'opérateur rot agit sur les variables x, y, z et non xo, yo, Zo), on voit que la loi de Biot et Savart

$$\vec{B} = \frac{\mu_0}{4\pi} \int d\omega_0 \ \vec{j}(\vec{x}_0) \wedge \vec{r}$$

peut s'écrire

$$\vec{B} = \frac{\mu_0}{4\pi} \vec{rot} \int \frac{dw_0 \vec{j}(\vec{x}_0)}{r}$$

Ainsi l'équ. B = rot A est bien satisfaite et

$$\vec{A} = \frac{\mu_0}{4\pi} \int \frac{dw_0 \vec{j}(\vec{x}_0)}{r}$$

Comme la div (rot) = 0 on aura toujours que $div \vec{B} = 0$

2). La loi d'Ampère
$$\frac{1}{\mu_o} \oint \vec{B} \cdot d\vec{s} = \sum_{int} i$$

est toujours satisfaite (voir TD)

Dans un modèle continu, par définition on a $\sum_{int} i = \int_{\Sigma_i} \vec{j} \cdot d\vec{s}$

Dans ce cas la loi d'Ampère s'écrit

$$\oint \vec{B} \cdot \vec{ds} = \mu_0 \int_{\Sigma_s} \vec{j} \cdot d\vec{s}_0$$

En utilisant le théorème de Stokes:

$$\frac{1}{\mu_0} \int (\overrightarrow{rot} \, \overrightarrow{B}) \cdot d\overrightarrow{G}_0 = \int \overrightarrow{j} \cdot d\overrightarrow{G}_0$$

$$\Sigma_s$$

Comme cette relation doit être satisfaite pour toute surface Σ_s on a

$$\frac{1}{\mu_{o}} \overrightarrow{rot} \overrightarrow{B} = \overrightarrow{j}$$

Dans le vide, on défini un champ magnétique \vec{H} par la relation $\vec{H} = \vec{B}/\mu_0$

$$\vec{rot} \vec{H} = \vec{j}$$

B) Le potentiel vecteur

En remplaçant B par rot A

en analyse vectorielle on montre que:

$$\vec{rot}$$
 \vec{rot} $\vec{A} = \vec{grad}$ \vec{div} $\vec{A} - \vec{\nabla}^2 \vec{A}$

où \$\overline{7}^2 \overline{A}\$ est le laplacien vecteur

Le champ \vec{A} n'est pas exactement défini puisqu'il est possible de lui ajouler le gradient d'un champ scalaire sans modifier la valeur de \vec{B} (car rôt grâd $\equiv 0$). Voir plus loin (th. des potentiels). Provisoirement, pour les phénomènes stationnaires, nous poserons div $\vec{A} = 0$ Il vient alors

$$\vec{\nabla}^2 \vec{A} = -\mu \vec{j}$$

Ainsi chaque composante du potentiel vecteur obéit à une équation de Poisson.

Par analogie avec les calculs du chapitre précédent il est possible d'écrire la solution

$$\vec{A} = \frac{M_0}{4\pi} \int_{\omega_0} \vec{j} \frac{d\omega_0}{r(\vec{x}_0, \vec{x})}$$

Cette relation est bien conforme à celle déduite de la loi de Biot et Savart.

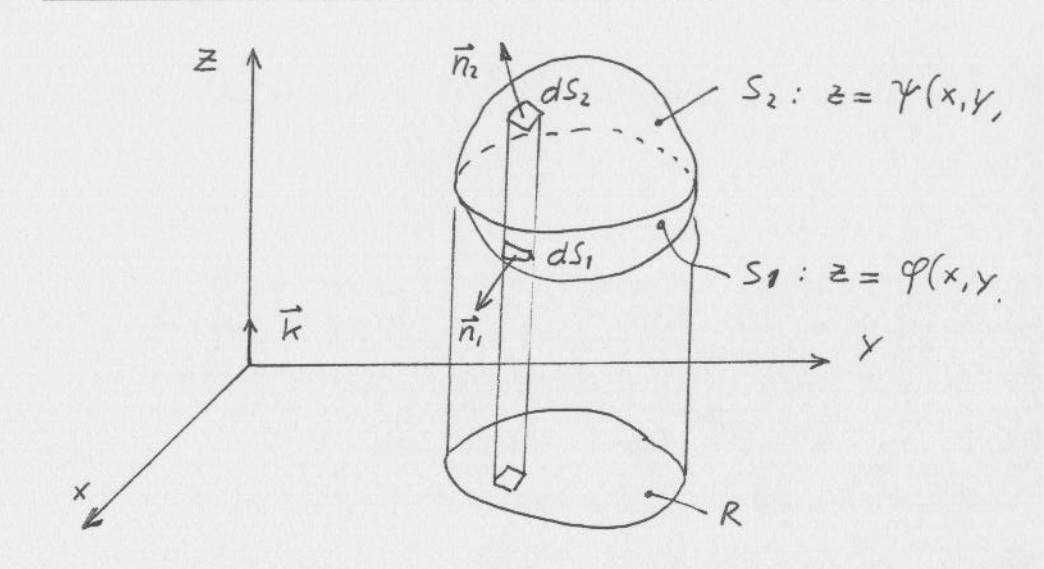
RÉSUMÉ

Lois du magnétisme statique dans le vide

Formes différentielles	Formes intégrales
$\vec{B} = \vec{rot} \vec{A}$ $div \vec{B} = 0$	$\int_{\mathcal{G}_{F}} \vec{B} \cdot d\vec{s} = 0$
$\overrightarrow{rot} \overrightarrow{H} = \overrightarrow{j}$	$ \oint \vec{H} \cdot d\vec{s} = \sum_{int} i $
₹ 2A = - Moj	$\vec{A}(\vec{x}) = \frac{\mu_0}{4\pi} \int_{\omega_0} \frac{\vec{j}(\vec{x}_0) d\omega_0}{r(\vec{x}, \vec{x}_0)}$
	$\vec{B}(\vec{x}) = \mu_0 \int_{\omega_0} \vec{j}(\vec{x}_0) \wedge \vec{r} d\omega_0$ $\vec{B}(\vec{x}) = \mu_0 \int_{\omega_0} \vec{j}(\vec{x}_0) \wedge \vec{r} d\omega_0$

Equ. de Maxwell stationnaires

Demonstration du théorème de la divergence



Soit un champ vect. $\vec{A}(x,y,z)$ Soit S une surface fermée telle que toute droite parallèle aux axes de coordonnées coupe S en au plus deux points.

$$\iint_{\Sigma} \frac{\partial A_{3}}{\partial z} dV = \iint_{\Sigma} \frac{\partial A_{3}}{\partial z} dz dy dx = \iint_{\Sigma} \frac{\partial A_{3}}{\partial z} dz dx dx$$

$$= \iint_{R} A_{3}(x, y, z) dx dy = \iint_{R} [A_{3}(x, y, y) - A_{3}(x, y, q)] dx dy$$

$$= \iint_{R} A_{3}(x, y, z) dx dy = \iint_{R} [A_{3}(x, y, y) - A_{3}(x, y, q)] dx dy$$

$$\iint\limits_{R} A_{2}(x, y, \psi) \, dy \, dx = \iint\limits_{S_{2}} A_{3} \, \vec{k} \cdot \vec{n}_{2} \, dS_{2}$$

$$\iint\limits_{R} A_{3}(x, y, \varphi) \, dy \, dx = -\iint\limits_{S_{1}} A_{3} \, \vec{k} \cdot \vec{n}_{1} \, dS_{1}$$

$$= \iint\limits_{R} A_{3} \, \vec{k} \cdot \vec{n}_{2} \, dS_{2} + \iint\limits_{S_{2}} A_{3} \, \vec{k} \cdot \vec{n}_{1} \, dS_{1} = \iint\limits_{S_{2}} A_{3} \, \vec{k} \cdot \vec{n} \, dS$$

$$= \iint\limits_{S_{2}} A_{3} \, \vec{k} \cdot \vec{n}_{2} \, dS_{2} + \iint\limits_{S_{1}} A_{3} \, \vec{k} \cdot \vec{n}_{1} \, dS_{1} = \iint\limits_{S_{2}} A_{3} \, \vec{k} \cdot \vec{n} \, dS$$

$$= \iint\limits_{S_{2}} A_{3} \, \vec{k} \cdot \vec{n}_{2} \, dS_{2} + \iint\limits_{S_{2}} A_{3} \, \vec{k} \cdot \vec{n}_{1} \, dS_{2} = \iint\limits_{S_{2}} A_{3} \, \vec{k} \cdot \vec{n} \, dS$$

de même par projection de S sur les autres plans de coordonnées, il vient :

$$\iiint_{V} \frac{\partial A_{2}}{\partial y} dV = \iint_{S} A_{2} \vec{j} \cdot \vec{n} dS$$

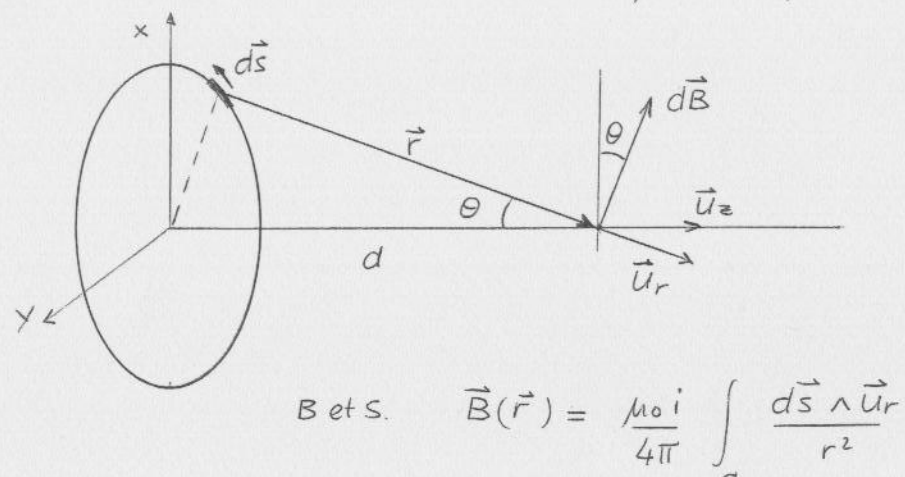
$$\iiint_{V} \frac{\partial A_{1}}{\partial x} dV = \iint_{S} A_{1} \vec{i} \cdot \vec{n} dS$$

$$\Rightarrow \iiint \left(\frac{\partial A_1}{\partial x} + \frac{\partial A_2}{\partial y} + \frac{\partial A_3}{\partial z}\right) dV = \iint \left(A_1 \vec{i} + A_2 \vec{j} + A_3 \vec{k}\right) \cdot \vec{n} dS$$

ou
$$\iint_{V} \vec{P} \cdot \vec{A} dV = \iint_{S} \vec{A} \cdot \vec{n} dS$$

Exercices

1) La spire circulaire dans le plan x-y



$$dB_{\epsilon} = d\vec{B} \cdot \vec{u}_{\epsilon} = \frac{\mu_{0}i}{4\pi} \frac{ds \sin \theta}{r^{2}}$$

Les composantes de dB // au plan de la spire vont s'annuler (symétrie).

$$\sin \Theta = \frac{R}{\sqrt{R^2 + d^2}} \quad ; \quad r^2 = R^2 + d^2$$

$$dB_{z} = \frac{\mu_{0}i}{4\pi} \frac{R ds}{(R^{2}+d^{2})^{3/2}}$$

$$B_{z} = \underbrace{\frac{\mu_{0} TR}{4\pi (R^{2} + d^{2})^{3/2}}}_{G} \oint ds = \underbrace{\frac{\mu_{0} i R^{2}}{2 (R^{2} + d^{2})^{3/2}}}_{Z(R^{2} + d^{2})^{3/2}}$$

$$\vec{B} = B_{z} \vec{u}_{z}$$

II PHENOMENES NON STATIONNAIRES

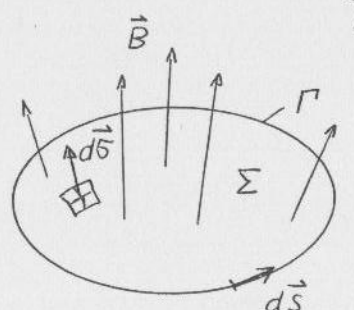
Dans le cas où les quantités g et j dépendent explicitement du temps, les équ. de Maxwell stationnaires ne sont plus valables.

Il apparaît alors une dépendance entre les phénomènes électriques et magnétiques ce qui se traduit par l'apparition de termes nouveaux dans les équs. fondamentales

A) Force électromotrice induite

Soit ϕ le flux du vecteur \vec{B} au travers d'une surface Σ quelconque s'appuyant sur le contour Γ

$$\phi = \int_{\Sigma} \vec{B} \cdot d\vec{s}$$



Lorsque & dépend du temps, on constate que:

$$\oint_{\Gamma} \vec{E} \cdot \vec{ds} \neq 0$$

L'expérience de Faraday montre que si l'on matérialise le circuit l' par un fil conducteur fermé sur un instrument de mesure, un courant

électrique circule chaque fois qu'il y a variation de flux de \vec{B} au travers de Σ La loi d'induction s'écrit:

$$\mathcal{E} = -\frac{d\phi}{dt}$$

où E est la force électromotrice induite définie par:

$$\mathcal{E} = \oint \vec{E} \cdot d\vec{s}$$

On en déduit :

$$-\frac{d}{dt} \int \vec{B} \cdot d\vec{s} = \oint \vec{E} \cdot d\vec{s}$$

Le théorème de Stokes permet d'écrire :

$$\int \overrightarrow{rot} \ \overrightarrow{E} \cdot d\overrightarrow{G} = -\int \frac{\overrightarrow{B}}{Ot} \cdot d\overrightarrow{G}$$

d'où

$$\vec{rot} \vec{E} = -\frac{\vec{OB}}{\vec{Ot}}$$

$$\operatorname{div} \frac{\partial \vec{B}}{\partial t} = -\operatorname{div} \vec{rot} \vec{E} = 0 \quad \operatorname{donc} \quad \frac{\partial}{\partial t} \operatorname{div} \vec{B} = 0 ,$$

compatible avec div $\vec{B} = 0$ qu'il n'y a pas lieu de modifier.

On obtient ainsi un premier couple d'équs. pour les phénomènes dépendents du temps.

$$\overrightarrow{rot} \stackrel{?}{=} = -\frac{2\overrightarrow{B}}{2t}$$

$$div \stackrel{?}{B} = 0$$

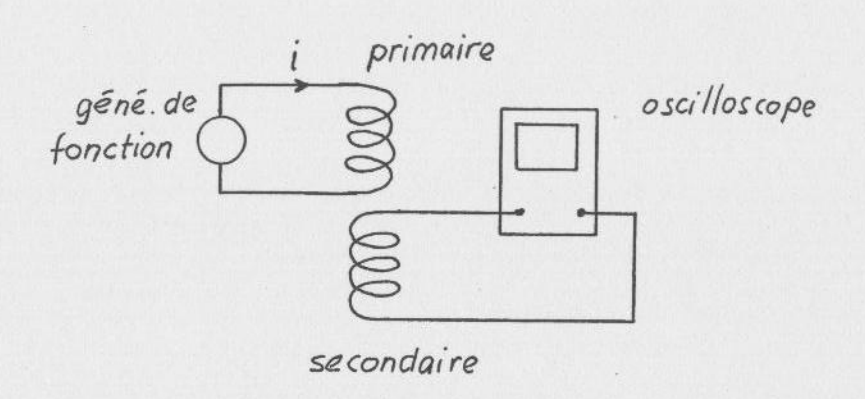
Remarque:

L'expérience de Faraday se fait au moyen de conducteurs qui obéissent à la <u>loi d'Ohm</u>:
c'est une relation phénoménologique qui relie \vec{E} et la densité de courant \vec{j}

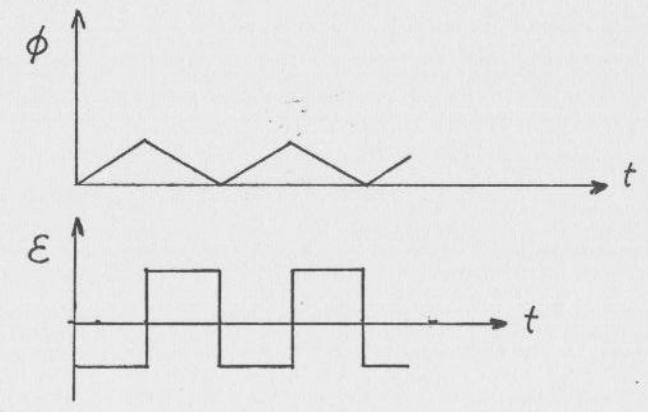
$$\vec{E} = S_{\Omega} \vec{j}$$

où S_{Ω} est la résistivité du conducteur donc: $\mathcal{E} = \oint \vec{E} \cdot d\vec{s} = \oint S_{\Omega} \vec{j} \cdot d\vec{s}$ pour un conducteur filiforme et homogène $(\vec{j}/\!\!/d\vec{s}, |\vec{j}| = i/6$ et $S_{\Omega} = cte$).

il vient $\mathcal{E} = S_{\Omega} \frac{L}{G}i$ où $L = \oint |d\vec{s}|$ La quantité $S_{\Omega} \stackrel{L}{=} est$ la résistance du circuit $R = S_{\Omega} \stackrel{L}{=} L$ est la résistance du circuit dont on déduit $\mathcal{E} = Ri$.

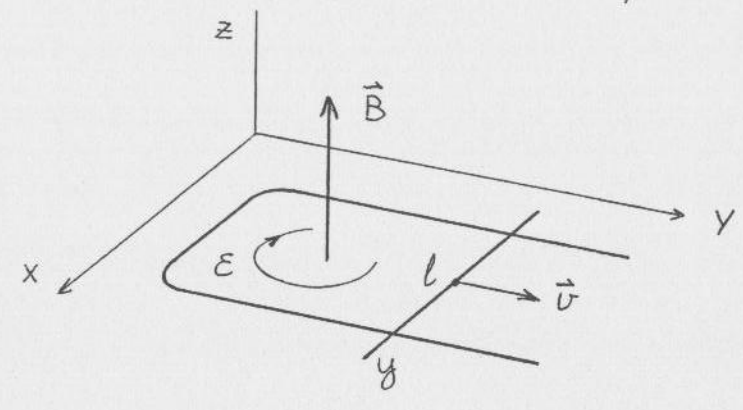


Le flux \$\phi\$, induit dans la bobine secondaire par le champ \$\vec{B}\$ généré par le primaire, vanie par exemple en dent de scie.



La f.e.m. induite est observée sur l'écran d'un oscilloscope, elle est égale à la dérivée de p changée de signe

Est il nécessaire de varier \vec{B} pour produire une fém.? La réponse est non! Il suffit de faire varier la géométrie cad. ϕ .



$$\phi = \int \vec{B} \cdot \vec{u}_{\epsilon} dG = B l y$$

variation du flux par unité de temps

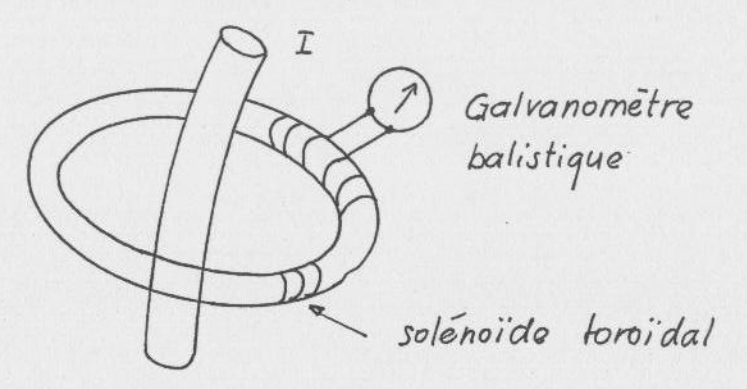
$$\frac{d\phi}{dt} = \frac{d}{dt} (Bly) = Bl \frac{dy}{dt}$$

$$\frac{d\phi}{dt} = B\ell v = \mathcal{E}$$

Le courant induit crée un flux qui s'oppose à l'augmentation du flux de \vec{B} .

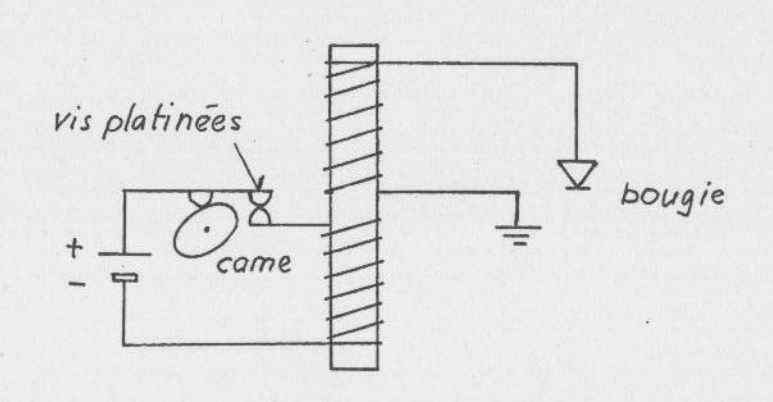
Applications:

1) Ruban de Rogowski



Lorsque l'on coupe I, l'instrument mesure la charge qui s'écoule à travers le circuit extérieur, cà d. $\sim \oint \vec{H} \cdot d\vec{s} = I$.

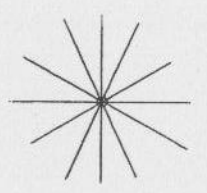
2) Allumage de voiture

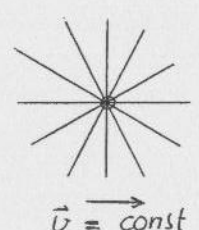


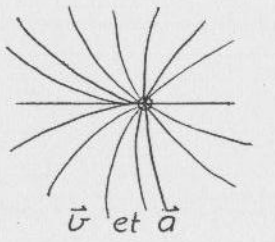
B) Courant de déplacement de Maxwell

La loi de Gauss $\oint \vec{D} \cdot d\vec{s} = \sum_{int} q$ traduit une $\sum_{int} f_{int} f_{int} da la charactéria de la charactéria <math>\vec{s}$

propriété fondamentale de la charge. Établie à partir de la loi de Coulomb et du principe de superposition, elle exprime que la densité de charge est la source du champ \vec{D} (div $\vec{D} = S$). Lors que la charge est en mouvement par rapport à un certain référentiel, le champ électrique n'est plus coulombien pour un observateur lié à ce reférentiel.







Nous ferons l'hypothèse que la loi de Gauss reste valable dans le cas non stationnaire. Etant donné la signification physique de div $\vec{D} = g$, cette hypothèse s'introduit naturellement, elle se trouve d'ailleurs vérifiée dans ses conséquences par l'expérience. Nous savons que l'équ. de continuité s'écrit:

$$div \vec{j} + \frac{28}{5t} = 0$$

en remplaçant $\frac{28}{0t}$ par div $\frac{2D}{2t}$ on obtient:

$$div \left(\vec{j} + \frac{\vec{D}}{\vec{D}t} \right) = 0$$

Le flux du champ $\vec{j} + \overrightarrow{D}$ au travers d'une surface fermée est nul. Puisque div $\vec{rot} \equiv 0$, l'expression ci-dessus est équivalente à :

$$\vec{rot} \vec{N} = \vec{j} + \frac{\vec{D}}{\vec{O}t}$$

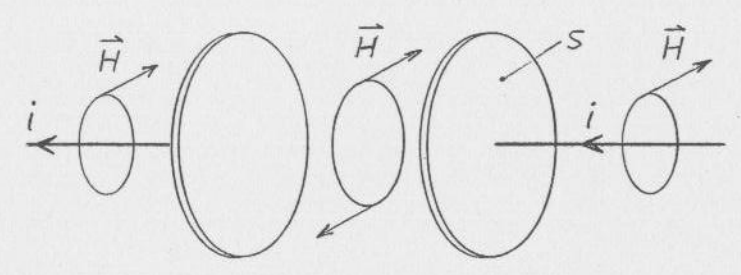
 \vec{N} représente un certain champ vecteur. Dans le cas stationnaire on avait rot $\vec{H} = \vec{j}$, on est donc raisonnablement conduit à identifier \vec{N} au champt On obtient ainsi un second couple d'équations pour les phénomènes variables dans le temps.

$$div \vec{D} = 9$$

$$\vec{rot} \vec{H} = \vec{j} + \frac{\vec{D}}{\vec{D}t}$$

Le terme DD/Dt est appelé densité de courant de déplacement de Maxwell.

Le rôle du courant de déplacement est illustré par l'opération de charge d'un condensateur plan



Les conducteurs sont parcourus par un courant i. Entre les armatures, i = 0 mais $\frac{\vec{D}}{2t} \neq 0$ Soit $S_s(t)$, la densité de charge superficielle. Nous avons montré que le champ \vec{D} à l'intérieur du condensateur a une amplitude $D = S_s$, dans le cas où \vec{D} est uniforme.

Considérons le courant i au travers d'une section \(\Sigma \) du fil:

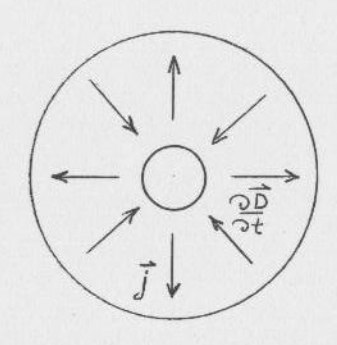
 $i = \left| \frac{dQ}{dt} \right| = \int_{\Sigma} \vec{j} \cdot d\vec{s}$

A la limite, cette relation est valable sur la surface d'une armature Σ' .

$$i = \frac{d}{dt} \int_{\Sigma'} g_s d\sigma = \frac{d}{dt} \int_{\Sigma'} D d\sigma = \int_{\Sigma'} \frac{\partial D}{\partial t} d\sigma$$

Ainsi, la théorie de Maxwell exprime que j' et DD sont la cause d'un champ magnétique Ce fait est confirmé par l'expérience.

Citons encore le cas du condensateur de Feynman (the Feynman Lectures on Physics Vol II).



Considérons un condensateur constitué de deux armatures sphériques, concentriques.

L'armature centrale émet des des charges qui sont captées

par l'armature externe. Il existe alors une densité de courant radiale j qui doit produire un champ magnétique H, or la symétrie même du problème semble entraîner la non existence d'un champ H. On peut vérifier que dans ce cas, le terme j est exactement compensé par le terme D de Maxwell de sorte qu'il n'en résulte aucun champ magnétique.

c) Les équations de Maxwell

On appelle équations de Maxwell le quatre égus. suivantes :

Remarquons encore qu'elles contiennent l'équation de continuité. En effet :

$$\operatorname{div}(4) \to \operatorname{div} \overrightarrow{\operatorname{rot}} \overrightarrow{H} \equiv 0 = \operatorname{div} \overrightarrow{j} + \operatorname{div} \frac{2\overrightarrow{D}}{2t}$$

$$\operatorname{de} \operatorname{plus} \operatorname{div} \frac{2\overrightarrow{D}}{2t} = \frac{2}{2t} \operatorname{div} \overrightarrow{D} = \frac{2}{2t}$$

$$(3)$$

$$\frac{\partial S}{\partial t} + div \vec{j} = 0$$

D'autre part, comme nous l'avons vu, (1) est contenu dans (2).

Les égus. de Moxwell fournissent 7 égus. scalaires différentielles. Il est possible d'admettre ces égus. comme postulat de départ.

Les grandeurs scalaires sont au nombre de 16 $(\vec{E}, \vec{D}, \vec{H}, \vec{B}, \vec{j})$ et g . Dans la matière condensée et lorsque $\vec{j} \neq 0$, il faut encore tenir compte des relations :

$$\vec{E} = \vec{E} (\vec{D}, \vec{B})$$
 et $\vec{H} = \vec{H} (\vec{B}, \vec{D})$

qui fournissent 6 équs. supplémentaires. Par ex., lorsqu'on peut définir <u>une polarisation et une aimantation</u>:

 $\vec{D} = \mathcal{E}_0 \vec{E} + \vec{P} = \mathcal{E}_0 \mathcal{E}_T \vec{E}$; $\vec{B} = \mu_0 \vec{H} + \mu_0 \vec{M} = \mu_0 \mu_T \vec{H}$ La deuxième égalité pour \vec{D} et \vec{B} est valable dans le cas linéaire uniquement. Avec ces 6 équs. scalaires supplémentaires on a 13 équs. pour 16 grandeurs. De plus, dans certains milieux conducteurs, il existe une relation phénoménologique entre \vec{E} et \vec{j} , qui se réduit quelque fois à la loi d'Ohm

$$\vec{E} = S_{\Omega} \vec{j}$$
 S_{Ω} : la résistivité

Au total on a alors 16 équs. à 16 inconnues.

Remarques

1). Lorsqu'il n'est pas possible de trouver une loi phénoménologique, on est amené à utiliser l'équ. du mvmt. des charges

$$\frac{d(m\vec{v})}{dt} = q(\vec{E} + \vec{v} \wedge \vec{B})$$

2). L'équ. div $\vec{B} = 0$ peut être comparée à l'équ. div $\vec{D} = g$, de même, l'équ. $\vec{rot} \vec{H} = \vec{j} + \frac{\vec{D}}{\vec{Ot}}$ peut être comparée à l'équ. $\vec{rot} \vec{E} = -\frac{\vec{D}\vec{B}}{\vec{Ot}}$. Aucune mesure n'a révélé jusqu'ici l'existence d'un monopôle magnétique qui permettrait d'écrire les équ.s de Maxwell sous forme symétrique, en introduisant une densité de monopôles magnétique et une densité de courant de monopôles. La découverte d'une particule ayant les propriétés d'un monopôle magnétique confirmerait une prévision théorique due initialement à Dirac.

3). A partir des égus. de Maxwell locales on peut trouver une forme globale (ou intégrale) de la manière suivante:

Les équs. contenant les div sont multipliées par un élément de volume du et intégrées dans un

volume ω quelconque. On utilise ensuite le théorème de la divergence $\left(\int\limits_{\Sigma_F}\vec{D}\cdot\vec{d\vec{s}}=\int\limits_{\omega}div\,\vec{D}\,d\omega\right)$.

Les équs. contenant des \overrightarrow{rot} sont multipliées par un élément ds d'une ligne fermée que longue et intégrées le long de cette ligne. On utilise alors le théorème de Stokes ($\oint \overrightarrow{E} \cdot d\overrightarrow{s} = \int \overrightarrow{rot} \ \overrightarrow{E} \ d\overrightarrow{s}$).

d) Récapitulation
$$\frac{1 \text{ er couple}}{\text{div } \vec{B} = 0} \\
\vec{B} = \vec{rot} \vec{A}$$

$$\vec{E} = -\frac{\vec{O}\vec{B}}{\vec{O}\vec{C}}$$

$$\vec{E} = -\frac{\vec{O}\vec{B}}{\vec{O}\vec{C}}$$

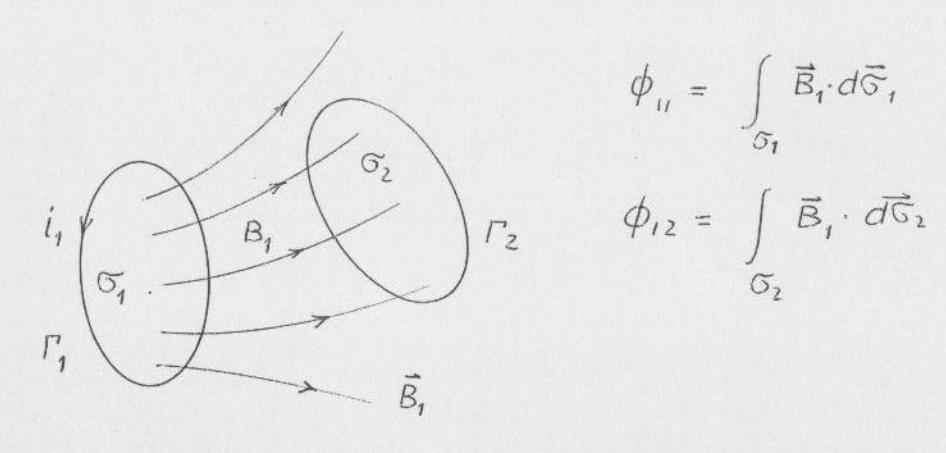
$$\vec{E} = -\frac{\vec{O}\vec{B}}{\vec{O}\vec{C}}$$

$$\vec{E} = -\frac{\vec{O}\vec{B}}{\vec{O}\vec{C}}$$

(*) Cette équ. sera établie dans la th. des potentiels

Self induction et induction mutuelle

Soit un circuit Γ_1 parcouru par un courant i, . Soit ϕ_{11} le flux de \vec{B}_1 au travers de \vec{G}_1 et ϕ_{12} le flux de \vec{B}_1 au travers d'une surface sous tendue par le circuit Γ_2 .



Le champ \vec{B}_1 et par conséquent ϕ_{11} et ϕ_{12} sont proportionnels au courant i_1 . On définit :

$$L_{1} = \frac{\phi_{II}}{i_{1}}$$
 coef. de self de la boucle 1.
$$M_{12} = \frac{\phi_{12}}{i_{1}}$$
 coef. d'induct. mutuelle de 1 sur 2

Réciproquement, si Γ_z est parcouru par un courant i_2 on peut définir un coef. $M_{21} = \frac{\phi_{21}}{i_2}$.

On pourra démontrer que Mjk = Mkj .

Donc le flux total ϕ_k embrassant une spire k parcourue par un courant i_k dans le voisinages d'autres spire j traversées par des courants i_j vaut:

$$\phi_k = L_{ki_k} + \sum_{j \neq k} M_{kj} i_j$$

Si la spire 12 est ouverte, on aura bien sûr :

$$\mathcal{E}_{z} = -\int \frac{\partial \vec{B}}{\partial t} \cdot d\vec{G}_{2}$$

où \mathcal{E}_2 est la fem, induite dans la spire Γ_2 . On a donc:

$$\mathcal{E}_z = -M_{12} \frac{di_1}{dt}$$

On on tire que:
$$M_{12} i_1 = \int \vec{B}_1 \cdot d\vec{\sigma}_2$$

done

$$M_{12} = \frac{1}{i_1} \int_{G_z} \vec{B}_1 \cdot d\vec{G}_2$$